



ویژگی‌های تکتونو ماگمایی توده‌ی نفوذی بغم در جنوب شرقی اردستان بر مبنای شیمی کانی کلینوپیروکسن و آمفیبول

ناهید شبانیان بروجنی*^۱، علیرضا داوودیان دهکردی^۱، فرنوش سهیلیان^۲

۱- دانشکده منابع طبیعی و علوم زمین، دانشگاه شهرکرد

۲- گروه زمین‌شناسی دانشگاه آزاد اسلامی واحد خوراسگان

(دریافت مقاله: ۹۱/۱/۱۵، نسخه نهایی: ۹۱/۴/۱۰)

چکیده: توده‌ی نفوذی بغم با ترکیب سنگ‌شناسی گابرو در جنوب شرقی شهر اردستان قرار داشته و در سنگ‌های آتشفشانی ائوسن نفوذ کرده است. منطقه‌ی مورد بررسی در پهنه‌ی ایران مرکزی و نوار ماگمایی ارومیه دختر قرار می‌گیرد. کانی‌های اصلی تشکیل‌دهنده‌ی سنگ‌ها عبارتند از کلینوپیروکسن، آمفیبول و پلاژیوکلاز. بررسی شیمی کانی‌ها نشان می‌دهد که کلینوپیروکسن‌های این توده‌ی نفوذی دارای ترکیب اوژیت بوده و بیشتر در گستره‌ی کلینوپیروکسن‌های فشار متوسط قرار می‌گیرند. ترکیب کلینوپیروکسن‌ها دماهای تبلور توده را ۸۴۰ تا ۹۲۰ درجه‌ی سانتیگراد نشان می‌دهد. از نظر تکتونوماگمایی ترکیب کلینوپیروکسن‌های توده‌ی نفوذی مورد بررسی در میدان کلینوپیروکسن‌های کوهزایی قرار می‌گیرند و به کمان ماگمایی وابسته‌اند. بلورهای آمفیبول در این سنگ‌های گابرویی جزء گروه آمفیبول‌های کلسیک بوده که در گستره‌ی منیزیه‌هورنبلند قرار می‌گیرند. از نظر تکتونوماگمایی ترکیب آمفیبول‌ها نشانگر ماهیت نیمه‌قلیایی برای این توده آذرین است. روش زمین-دماسنجی بر اساس جفت کانی‌های کلینوپیروکسن و آمفیبول همزیست، دماهای ۷۳۰ تا ۷۹۰ درجه سانتیگراد را بدست می‌دهد. پلاژیوکلاز تنها کانی فلسیک این سنگ‌های گابرویی است که از نظر ترکیبی در گستره‌های بیتونیت (هسته) و لابرادوریت تا آندزین (حاشیه) و آلبیت (حاصل سوسوریتی شدن) قرار می‌گیرد.

واژه‌های کلیدی: کلینوپیروکسن؛ آمفیبول؛ تکتونوماگماتیک؛ اردستان.

مقدمه

برای تعیین گریزندگی اکسیژن ماگما [۴،۳] و برآورد عمق نفوذ ماگما، براساس زمین‌دماسنجی و زمین‌فشارسنجی می‌توان از ترکیب شیمی بلورهای آمفیبول استفاده کرد. ترکیب کانی‌های کلینوپیروکسن، آمفیبول و پلاژیوکلاز علاوه بر ترکیب شیمیایی ماگما به شرایط دما و فشار تبلور نیز حساس‌اند و بر این پایه روش‌های مختلف زمین‌دماسنجی و زمین‌فشارسنجی مطرح شده‌اند، برای مثال: محتوی Al در هورنبلند یک شاخص حساس به شرایط دما و فشار تبلور بوده

ترکیب شیمیایی کلینوپیروکسن‌های آذرین بازتاب دهنده‌ی ماهیت سنگ‌های میزبان آنهاست [۱] به طوری که تنوع ترکیبی کلینوپیروکسن‌ها غالباً با تغییرات در شیمی ماگما وابسته است. فرآیند جدایش ماگمایی و شرایط فیزیکی تبلور روی ترکیب ماگما تاثیر می‌گذارد. بنابراین ترکیب کلینوپیروکسن‌ها به شدت در اثر جدایش کاتیون‌ها و ساختار گدازه‌ای که از آن تبلور یابد، کنترل می‌شود [۲]. هم چنین

* نویسنده مسئول، تلفن: ۰۹۱۳۳۱۸۰۲۴۲، نامبر: ۴۴۲۴۴۲۸ (۰۳۸۱)، پست الکترونیکی: nahid.shabanian@gmail.com

طول ۱۷۰۰ کیلومتر و عرض تقریبی ۱۰۰ کیلومتر به موازات روزاندگی زاگرس و در فاصله‌ی ۲۰۰-۱۵۰ کیلومتری از آن قرار دارد. فعالیت ماگمایی سنوزوئیک، هم به صورت آتشفشانی و هم به صورت نفوذی، عمل کرده که طی فازهای کمپرسیونی و متعاقب آن فاز کششی کشور ما را تحت تأثیر قرار داده است [۱۵].

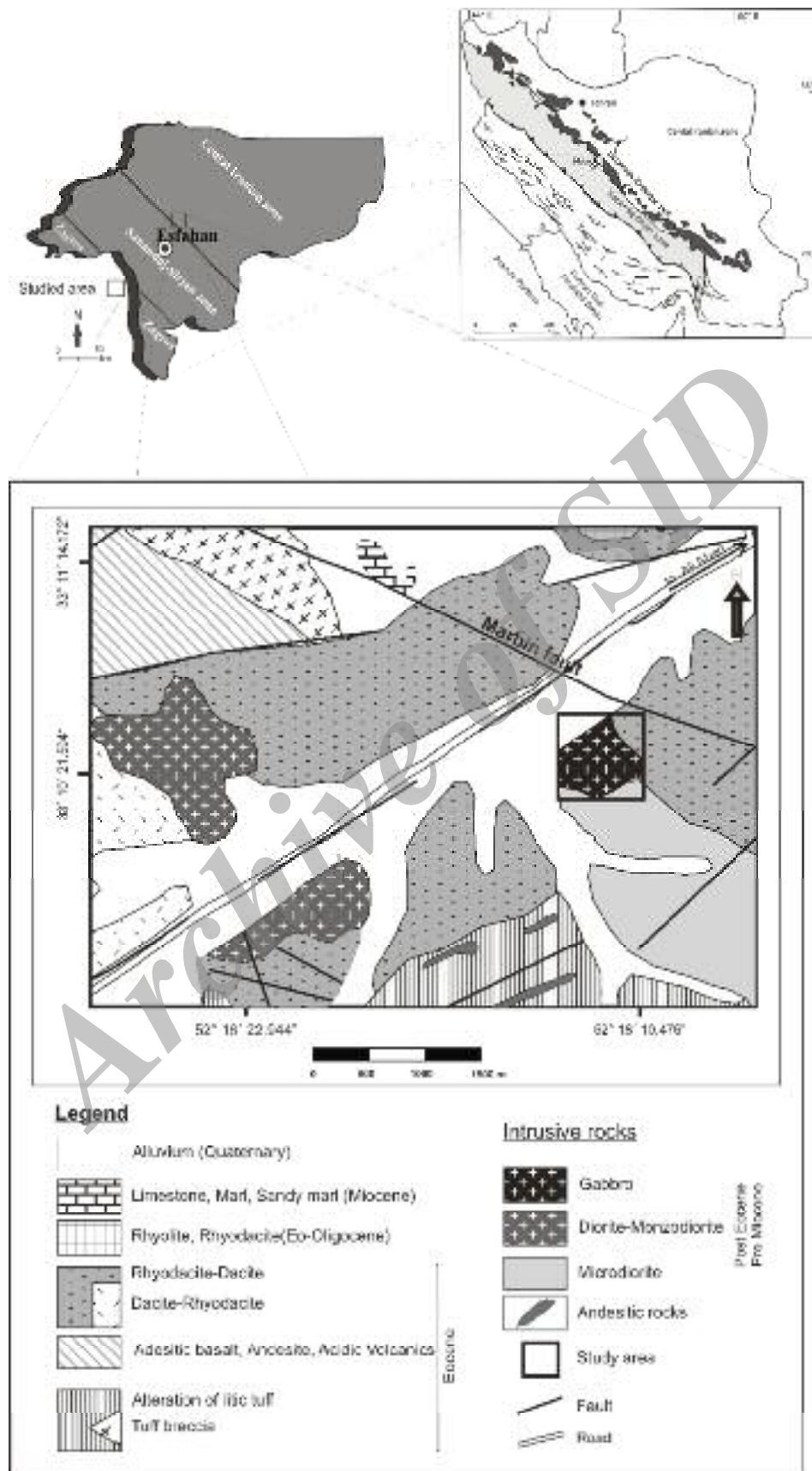
این توده‌ی آذرین در سنگ‌های آتشفشانی به سن ائوسن که در منطقه مورد بررسی گسترش گسترده‌ای دارند، تزریق شده است (شکل ۱). چنانکه در شکل ۱ دیده می‌شود، در حاشیه‌ی شمال غربی و غرب و جنوب غربی توده‌ی آبرفت‌های کواترنری مشاهده می‌شوند. به دلیل اینکه مرز بین این دو واحد با رسوب‌های آبرفتی پوشیده شده است تأثیر گرمایی توده بر سنگ‌های آتشفشانی آشکار نیست. از طرف دیگر بررسی‌های میکروسکوپی بر روی سنگ‌های آتشفشانی میزبان نیز شواهد روشنی از دگرگونی مجاورتی را نشان نداد. در جنوب شرقی این توده‌ی گابرویی مورد بررسی نیز یک توده‌ی میکرودیوریتی رخنمون دارد که تأثیر توده گابرویی بر سنگ‌های میکرودیوریتی تا حدودی به صورت تجدید تبلور بوده و بطور کلی آثار چشمگیری از یک دگرگونی مجاورتی را نشان نمی‌دهند. در برداشته‌های صحرایی که در منطقه صورت گرفت، مواردی از حضور زئولیت‌های از جنس آندزیت و سنگ‌های آتشفشانی دیگر در این توده مشاهده نشدند. از آنجاکه این توده در سنگ‌های آتشفشانی منطقه تزریق شده است، بنابراین سن این توده پس از ائوسن بوده و با توجه به دیگر توده‌های نفوذی منطقه و بر مبنای نقشه‌ی زمین‌شناسی چهارگوش اردستان، سن آن پیش از میوسن است. بدین جهت می‌توان آن را به آخرین حادثه‌ی بزرگ ماگماتیسم نفوذی وابسته دانست که در ایران در اولیگو-میوسن رخ داده و بیشتر در مرکز ایران (نظیر نوار کرکس) و جنوب شرقی (نوار جبال بارز) گسترش داشته است [۱۶]. نوار کرکس که این توده نیز بخشی از آن است مشتمل بر توده‌های نفوذی بازی تا گرانیتی است. این سنگ‌ها به درون سنگ‌های آتشفشانی ائوسن تزریق شده‌اند و یک دگرگونی گرمایی را سبب شده‌اند [۱۷-۱۹]. سن این توده‌های نفوذی بر مبنای روش Rb/Sr، ۱۷ تا ۱۹ میلیون سال برآورده شده است [۱۷، ۱۸].

و به عنوان یک زمین فشارسنگ بکار رفته است [۹-۵]. نمودار ترسیمی دمای کلینوپیروکسن‌ها [۱۰] و زمین‌دماسنجی جفت کانی‌های کلینوپیروکسن و آمفیبول همزیست [۱۲، ۱۱] به عنوان زمین‌دماسنج کاربرد دارند. بررسی‌های بسیاری در خصوص ژئوشیمی توده‌های نفوذی نوار ماگمایی ارومیه - دختر صورت گرفته است ولی در خصوص بررسی ویژگی‌های شیمی کانی‌ها به ویژه کانی کلینوپیروکسن، اطلاعات گسترده‌ای در دسترس نیست. هدف این مقاله، بررسی ترکیب آمفیبول و کلینوپیروکسن ماگمایی در گابروهای مورد بررسی برای دستیابی به شاخص پتروژنیکی مطمئن برای شناسایی نوع ماگما و محیط زمین‌ساختی است. نتایج به دست آمده آگاهی بهتری از فرآیندهای تبلور و شکل‌گیری ماگما را فراهم می‌آورد.

زمین‌شناسی منطقه

توده‌ی نفوذی بغم در ۲۳ کیلومتری جنوب شرقی اردستان به صورت یک ارتفاع گنبدی شکل در منطقه دیده می‌شود و در مجاورت جاده‌ی اصلی آسفالته‌ی اصفهان - اردستان قرار دارد و از دو سمت مورد بهره برداری معدنی قرار گرفته است. از سنگ‌های این توده به‌عنوان سنگ‌نما استفاده می‌شود که دلیل رنگ زیبا و نیز آثار نسبتاً کم تجزیه و فقدان درز و شکاف فراوان در آن است. با توجه به اختلاف ارتفاع آن با مناطق مجاور، این توده شباهت به یک اینسلب‌برگ (ناهمواری منفرد) دارد. مختصات جغرافیایی این توده برابر با عرض جغرافیایی "۳۳°۱۰'۱۵" تا "۳۳°۱۰'۳۷" شمالی و طول جغرافیایی "۵۲°۱۷'۵۲" تا "۵۲°۱۸'۲۰" شرقی است. وسعت این توده حدود ۰/۳ کیلومتر مربع است. از نظر تقسیمات زمین‌شناسی ایران، این توده بخشی از مجموعه توده‌های نفوذی پهنه‌ی ایران مرکزی و پهنه‌ی ماگمایی ارومیه - دختر است [۱۴، ۱۳] و در بخش مرکزی آن قرار دارد (شکل ۱) و روی نقشه‌ی زمین‌شناسی ۱:۱۰۰۰۰۰ اردستان به عنوان دیوریت - مونزودیوریت گزارش شده است.

نوار ماگمایی ارومیه دختر با روند شمال غربی، جنوب شرقی از ناحیه‌ی دریاچه‌ی ارومیه در آذربایجان تا آتشفشان‌های بزمان در بلوچستان کشیده شده است که سن فعالیت‌های ماگمایی در آن از ائوسن و الیگوسن آغاز و به آتشفشان‌های عهد حاضر ختم می‌شود [۱۵]. این کمر بند با



شکل ۱ نقشه‌ی زمین‌شناسی ساده شده از منطقه‌ی مورد بررسی [۲۰].

روش بررسی

در این مقاله به منظور بررسی این توده از دیدگاه سنگ‌شناسی، نخست از آن به صورت سیستماتیک و با استفاده از GPS نمونه‌برداری شد و سپس به منظور بررسی شیمی کانی‌ها پس از تهیه‌ی مقاطع نازک و بررسی‌های میکروسکوپی، تعدادی از نمونه‌های با کمترین دگرسانی انتخاب و پس از تهیه‌ی مقاطع نازک صیقلی با استفاده از یک ریزپردازنده‌ی الکترونی آنالیز نقطه‌ای شدند. آنالیزهای ریزپردازش الکترونی در گروه زمین‌شناسی دانشگاه اکلاهما آمریکا با استفاده از دستگاه Cameca SX50 در شرایط ۲۰ کیلوولت، جریان ۲۰ نانو آمپر و ۱۰ ثانیه زمان شمارش با انتخاب نقاط ۲ میکرون متری انجام گرفتند. آنالیز کانی‌ها با نرم‌افزار کامپیوتری PET [۲۱] محاسبه شدند و محاسبه‌ی مقادیر Fe^{+3} بر مبنای ملاحظات استوکیومتری انجام شده توسط [۲۲] انجام گرفت.

سنگ نگاشتی سنگ‌های گابرویی توده‌ی بغم

سنگ‌های گابرویی توده‌ی بغم بافت دانه‌ای هم بعد (شکل ۲ الف) تا در بعضی موارد ناهم بعد را نشان می‌دهند. کانی‌شناسی این سنگ‌ها نسبتاً ساده بوده و از کانی‌های اصلی پلاژیوکلاز، پیروکسن، هورنبلند و کانی کدر تشکیل یافته‌اند. آثار تجزیه اورالیتی و سوسوریتی دیده می‌شوند.

پلاژیوکلاز

این کانی از تشکیل‌دهنده‌های اصلی سنگ است که اندازه‌ی دانه‌ها غالباً متوسط بوده و از نظر فرم نیمه‌شکل‌دار تا بی‌شکل است و دارای ماکل تکراری (پلی‌سینتتیک) و آلبیتی است.

گاه منطقه‌بندی نشان می‌دهد (شکل ۲ ب) و خرد شده‌اند که آثاری از تجزیه به کلریت در راستای شکستگی‌ها و خردشدگی‌ها مشاهده می‌شوند. همچنین میزان متفاوتی از تجزیه سوسوریتی را نشان می‌دهند که در اثر تجزیه سوسوریتی در حال تبدیل به آلبیت، کلسیت، کلریت و اپیدوت است.

پیروکسن

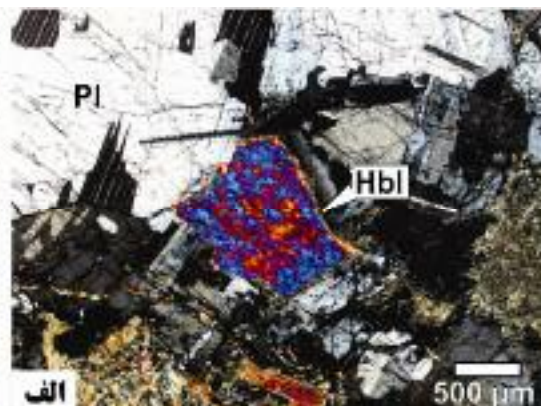
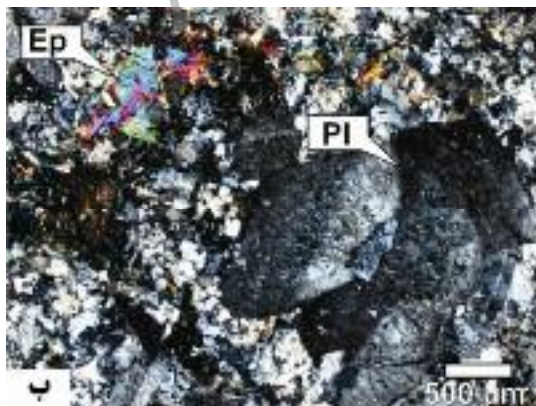
این کانی از لحاظ فرم بی‌شکل، نیمه شکل‌دار تا شکل‌دار بوده و مقاطع عرضی دو دسته رخ عمود برهم را نشان می‌دهند. آثار تجزیه اورالیتی (ترمولیت و اکتینولیت) و تجزیه به کلسیت و اپیدوت و کلریت مشاهده می‌شوند که در راستای رخ‌ها تیتانیت آزاد شده است.

هورنبلند

این کانی بی‌شکل تا نیمه شکل‌دار بوده و به صورت کشیده دیده می‌شوند. مقاطع طولی، دسته‌ای رخ دارند و چند رنگی سبز کم‌رنگ تا کمی پررنگ و قهوه‌ای کم‌رنگ نشان می‌دهند. تجزیه به بیوتیت (با چندرنگی قهوه‌ای کم‌رنگ تا قهوه‌ای)، کلریت (بلورهای زرد تنباکویی)، کلسیت و کانی‌های کدر را نشان می‌دهند.

کانی کدر

این کانی از لحاظ اندازه ریز بلور بوده و از نظر فرم بی‌شکل تا نیمه شکل‌دار و گاهی آمیبی شکل‌اند. در پیرامون آن‌ها گاهی انباشت ریزدانه‌ی تیتانیت ثانویه (از لحاظ اندازه ریز بلور و از نظر فرم بی‌شکل) دیده می‌شود.



شکل ۲ الف) بافت دانه‌ای هم بعد در سنگ گابرو توده‌ی نفوذی بغم، ب) منطقه بندی آشکار در یک بلور درشت پلاژیوکلاز همراه با بلورهای ریز پلاژیوکلاز و اپیدوت. نور پلاریزه XPL

شیمی کانی‌ها

پیروکسن

نتایج آنالیزهای ریزپردازش الکترونی از کلینوپيروکسن‌های توده‌ی نفوذی مورد بررسی در جدول ۱ ارایه شده‌اند. چنان‌که در این جدول مشاهده می‌شود ترکیب اعضای انتهایی کلینوپيروکسن‌ها از این توده برابر با $Wo_{40.96} En_{44.48-45.23} Fs_{12.87-13.90}$ است. ترکیب کلینوپيروکسن‌ها یکسان بوده و همه‌ی آن‌ها در میدان اوزیت [۲۳] قرار می‌گیرند (شکل ۳). در نمودار Q-J ($J = 2Na, Q = Ca + Mg + Fe^{2+}$) نمونه‌های مورد بررسی در گستره‌ی پیروکسن‌های کلسیم-

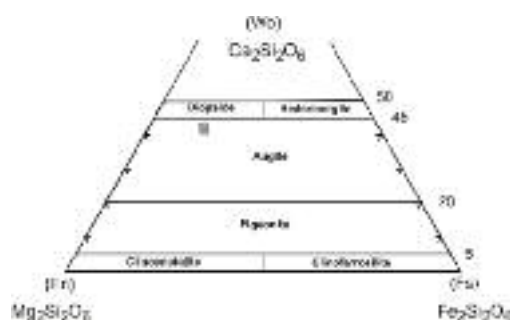
آهن-منیزیم‌دار (Quad) قرار می‌گیرند (شکل ۴).

پیروکسن‌های مورد بررسی فاقد منطقه‌بندی هستند.

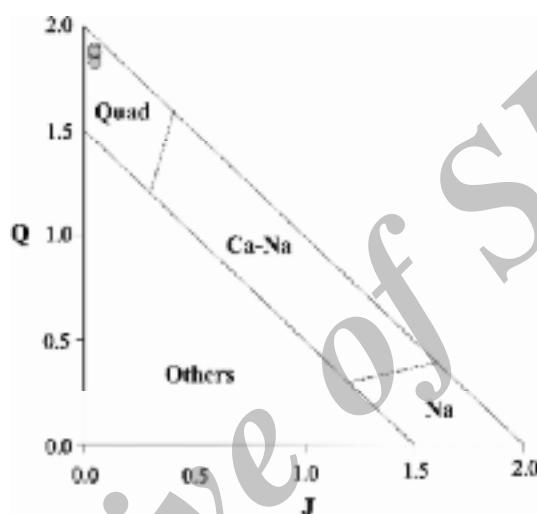
براساس نمودار تغییرات $Ti + Na + Cr$ نسبت به Al، تمامی کلینوپيروکسن‌ها ماهیت آذرین دارند (شکل ۵). میزان تغییرات Al_2O_3 از ۱/۸۴ تا ۲/۵۶ درصد وزنی بوده و تغییرات CaO آنها بسیار کم است و از ۲۰/۰۷ تا ۲۰/۵۲ درصد وزنی تغییر می‌کند. مقدار Mg# نیز بطور متوسط در حدود ۰/۸۲ است. میزان Al^{IV} از ۰/۰۶۶ تا ۰/۰۹۱ اتم در واحد فرمول (a.p.f.u.) و Al^{VI} نیز از ۰/۰۱ تا ۰/۰۲۶ متغیر است.

جدول ۱ نتایج آنالیزهای ریزپردازشی کلینوپيروکسن‌های توده‌ی نفوذی مورد بررسی بر اساس ۶ اتم اکسیژن.

Label	Cpx-1	Cpx-2	Cpx-3	Cpx-4	Cpx-5	Cpx-6
SiO ₂	۵۲/۲۹	۵۲/۱۱	۵۱/۴۷	۵۱/۸۰	۵۱/۹۲	۵۱/۵۷
TiO ₂	۰/۶۳	۰/۶۱	۰/۷۴	۰/۷۰	۰/۶۹	۰/۷۳
P ₂ O ₅	۰/۰۴	۰/۰۴	۰/۰۱	۰/۰۲	۰/۰۱	۰/۰۰
Al ₂ O ₃	۱/۸۴	۱/۸۵	۲/۵۴	۲/۳۶	۲/۳۱	۲/۵۶
Cr ₂ O ₃	۰/۰۰	۰/۰۰	۰/۰۸	۰/۰۲	۰/۰۳	۰/۰۴
Fe ₂ O ₃	۰/۰۰	۰/۰۰	۰/۰۰	۰/۰۰	۰/۰۰	۰/۰۰
FeO	۸/۴۰	۸/۴۳	۷/۸۰	۸/۰۷	۸/۰۸	۸/۱۲
MnO	۰/۲۹	۰/۲۷	۰/۲۲	۰/۲۰	۰/۲۱	۰/۲۰
MgO	۱۵/۹۶	۱۵/۸۳	۱۵/۷۵	۱۵/۶۹	۱۵/۸۱	۱۵/۵۳
NiO	۰/۰۰	۰/۰۲	۰/۰۳	۰/۰۰	۰/۰۱	۰/۰۰
CaO	۲۰/۱۱	۲۰/۰۷	۲۰/۴۸	۲۰/۵۲	۲۰/۳۱	۲۰/۴۸
Na ₂ O	۰/۲۹	۰/۲۸	۰/۲۹	۰/۳۲	۰/۳۰	۰/۲۹
K ₂ O	۰/۰۰	۰/۰۰	۰/۰۰	۰/۰۰	۰/۰۰	۰/۰۰
F	۰/۰۰	۰/۰۰	۰/۰۲	۰/۰۱	۰/۱۵	۰/۰۰
Total	۹۹/۸۵	۹۹/۵۷	۹۹/۴۲	۹۹/۷۱	۹۹/۷۷	۹۹/۵۲
Si	۱/۹۳۴	۱/۹۲۹	۱/۹۰۹	۱/۹۱۷	۱/۹۱۴	۱/۹۱۴
Ti	۰/۰۱۸	۰/۰۱۷	۰/۰۲۱	۰/۰۱۹	۰/۰۱۹	۰/۰۲۰
P	۰/۰۰۱	۰/۰۰۱	۰/۰۰۰	۰/۰۰۱	۰/۰۰۰	۰/۰۰۰
Al	۰/۰۸۰	۰/۰۸۱	۰/۱۱۱	۰/۱۰۳	۰/۱۰۰	۰/۱۱۲
Cr	۰/۰۰۰	۰/۰۰۰	۰/۰۰۲	۰/۰۰۱	۰/۰۰۱	۰/۰۰۱
Fe ³⁺	۰/۰۳۳	۰/۰۶۶	۰/۰۵۳	۰/۰۴۷	۰/۰۸۹	۰/۰۳۹
Fe ²⁺	۰/۲۲۶	۰/۱۹۵	۰/۱۸۹	۰/۲۰۳	۰/۱۶۰	۰/۲۱۳
Mn	۰/۰۰۹	۰/۰۰۸	۰/۰۰۷	۰/۰۰۶	۰/۰۰۷	۰/۰۰۶
Mg	۰/۸۸۰	۰/۸۷۴	۰/۸۷۱	۰/۸۶۶	۰/۸۶۹	۰/۸۵۹
Ni	۰/۰۰۰	۰/۰۰۱	۰/۰۰۱	۰/۰۰۰	۰/۰۰۰	۰/۰۰۰
Ca	۰/۷۹۷	۰/۷۹۶	۰/۸۱۴	۰/۸۱۴	۰/۸۰۲	۰/۸۱۴
Na	۰/۰۲۱	۰/۰۲۰	۰/۰۲۱	۰/۰۲۳	۰/۰۲۱	۰/۰۲۱
K	۰/۰۰۰	۰/۰۰۰	۰/۰۰۰	۰/۰۰۰	۰/۰۰۰	۰/۰۰۰
F	۰/۰۰۰	۰/۰۱۲	۰/۰۰۲	۰/۰۰۱	۰/۰۱۷	۰/۰۰۰
Sum	۳/۹۹۹	۴/۰۰۰	۴/۰۰۱	۴/۰۰۱	۳/۹۹۹	۳/۹۹۹
Al ^{IV}	۰/۰۶۶	۰/۰۷۱	۰/۰۹۱	۰/۰۸۳	۰/۰۸۶	۰/۰۸۶
Al ^{VI}	۰/۰۱۴	۰/۰۱۰	۰/۰۲۰	۰/۰۲۰	۰/۰۱۴	۰/۰۲۶
Mol _{Wo}	۴۰/۹۶	۴۱/۰۵	۴۲/۰۹	۴۲/۰۴	۴۱/۶۴	۴۲/۱۵
Mol _{En}	۴۵/۲۳	۴۵/۰۵	۴۵/۰۴	۴۴/۷۳	۴۵/۱۰	۴۴/۴۸
Mol _{Fs}	۱۳/۸۲	۱۳/۹۰	۱۲/۸۷	۱۳/۲۳	۱۳/۲۷	۱۳/۳۷

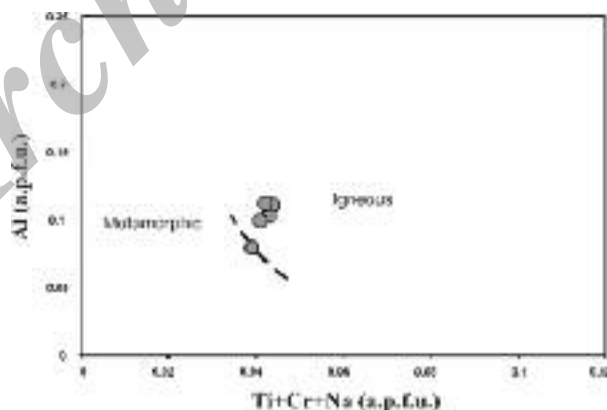


شکل ۳ موقعیت کلینوپیروکسن‌های توده‌ی نفوذی بغم در نمودار تقسیم بندی کلینوپیروکسن‌ها از [۲۳].



شکل ۴ کلینوپیروکسن‌های مورد بررسی در نمودار (J = 2Na, Q = Ca + Mg + Fe²⁺) در گستره‌ی کلینوپیروکسن‌های کلسیم-منیزیم-

آهن‌دار قرار می‌گیرند [۲۳].



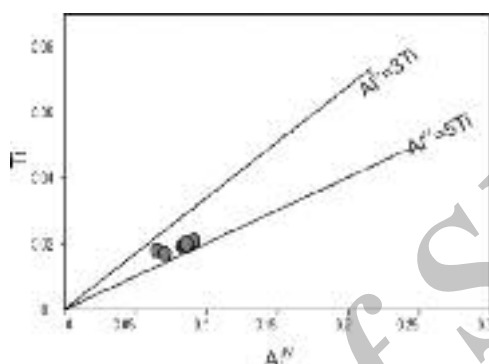
شکل ۵ در نمودار Ti + Na + Cr نسبت به Al بیشتر کلینوپیروکسن‌ها ماهیت آذرین نشان می‌دهند [۲۴].

میزان پایین تیتانیوم در کلینوپیروکسن‌ها بیانگر وجود کانی‌های تیتانیوم‌دار (ایلمنیت یا با اجتماع قوی‌تر تیتانومگنتیت) در سنگ است (شکل ۶) که با احاطه شدن کانی‌های کدر به وسیله‌ی تیتانیت تایید می‌شود.

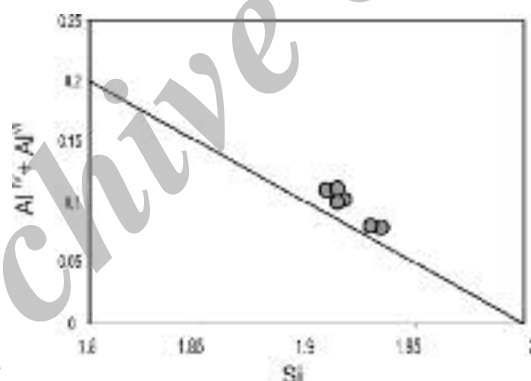
محتوای Ti و Al کلینوپیروکسن‌ها به فعالیت سیلیس مذابی که از آن متبلور شده‌اند و به نسبت این عناصر که به ترتیب در انواع ماگماهای توله‌ایتی، قلیایی و پرآلکان افزایش می‌یابد، بستگی دارد [۲۶، ۲۵] با توجه به نمودار تغییرات Ti-

کلینوپیروکسن‌ها تابعی از گریزندگی اکسیژن و میزان Al در موقعیت چار وجهی و هشت وجهی است، نمودار $Al^{VI} + 2Ti + Cr$ نسبت به $Na + Al^{IV}$ بیانگر این ادعاست [۲۸،۲۷]. قرارگیری نمونه‌ها در بالای خط $Fe^{3+} = 0$ موید بالا بودن گریزندگی اکسیژن است (شکل ۸) و با توجه به فاصله‌ی نمونه‌ها با خط $Fe^{3+} = 0$ گریزندگی محیط تبلور نسبتاً بالاست.

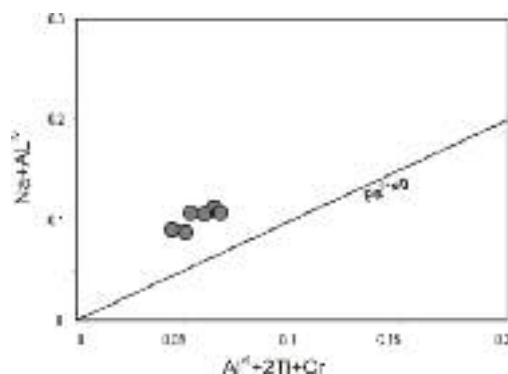
در نمودار توزیع Al و Si پیروکسن‌های توده مورد بررسی، نمونه‌ها در بالای خط اشباع جایگاه چار رخی قرار می‌گیرند (شکل ۷). بنابراین موقعیت چار رخی این کلینوپیروکسن‌ها به صورت کامل با Si و به صورت بخشی با Al (Al^{IV}) پر می‌شود و نمی‌تواند با کاتیون‌های سه ظرفیتی مثل Fe^{3+} ، Ti و Cr اشغال شود. Al اضافی همراه با عناصر سه ظرفیتی نیز وارد ساختار هشت وجهی می‌شوند. بنابراین میزان Fe^{3+} در



شکل ۶ با توجه به نمودار تغییرات $Ti-Al^{IV}$ ، میزان پایین تیتانیم در کلینوپیروکسن‌ها بیانگر وجود کانی‌های تیتانیم‌دار (ایلمنیت) در سنگ است [۲۹].



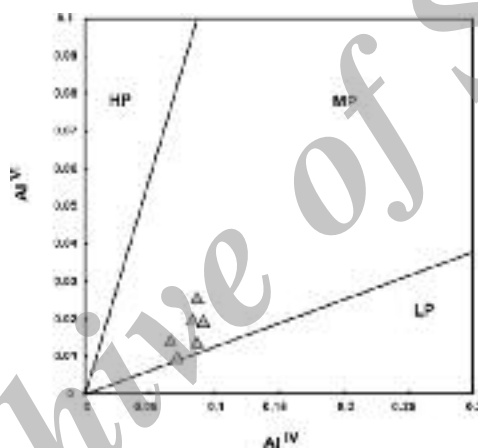
شکل ۷ پیروکسن‌های توده‌ی مورد بررسی در نمودار توزیع Al و Si در بالای خط اشباع جایگاه چار وجهی قرار می‌گیرند [۲۸].



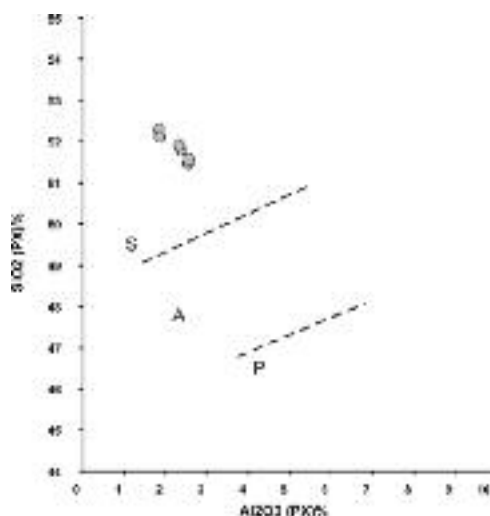
شکل ۸ قرارگیری نمونه‌ها در بالای خط $Fe^{3+} = 0$ در نمودار $Al^{VI} + 2Ti + Cr$ نسبت به $Na + Al^{IV}$ گویای بالا بودن گریزندگی اکسیژن است و با توجه به فاصله نمونه‌ها با خط $Fe^{3+} = 0$ گریزندگی محیط تبلور نسبتاً بالاست [۲۸].

بنابر نمودار SiO_2 نسبت به Al_2O_3 ، ماهیت ماگمایی که کلینوپیروکسن‌ها از آن متبلور می‌شوند، نیمه‌قلیایی (تولییتی و آهکی-قلیایی) است (شکل ۱۰). نمودار $\text{Ca} + \text{Na}$ نسبت به Ti و نمودار TiO_2 نسبت به Al_2O_3 ماهیت تولییتی نشان می‌دهند (شکل ۱۱). در نمودار تفکیکی Ca-Ti و Ca-Ti+Cr تمامی کلینوپیروکسن‌ها در میدان کوهزایی قرار می‌گیرند (شکل ۱۲A,B) که در توافق با تشکیل آنها در یک موقعیت زمین‌ساختی وابسته به کمان است. هم‌چنین در نمودار دوتایی $\text{TiO}_2\text{-Al}_2\text{O}_3$ درصد موقعیت‌های چاروجهی اشغال شده با آلومینیوم نمونه‌ها در گستره‌ی وابسته به کمان قرار می‌گیرند (شکل ۱۳).

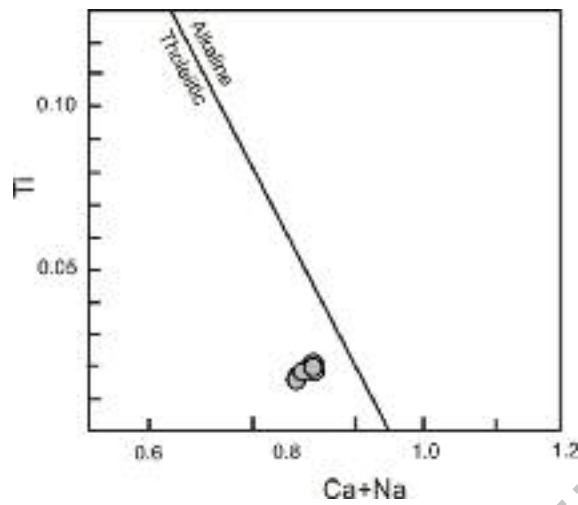
ترکیب Al^{VI} در کلینوپیروکسن‌های آذرین چنانکه بررسی‌های تجربی ذوب در بازالت‌ها نشان داده، وابسته به فشار است [۳۰]. مقادیر کم Al^{VI} در اوژیت‌های بازالت‌ها و دایک‌های دولریتی سازگار با فشارهای پایین تبلور است. نسبت $\text{Al}^{\text{VI}}/\text{Al}^{\text{IV}}$ در این کلینوپیروکسن‌های مورد بررسی بین ۰/۱۴ تا ۰/۳۰ متغیر بوده و در گستره‌ی کلینوپیروکسن‌های فشار متوسط تا فشار پایین قرار می‌گیرند (شکل ۹). نسبت ۰/۲۵ در واقع مرزی است برای آن دسته از پیروکسن‌هایی است که بین فشارهای پایین و متوسط (~ 5 Kbar) متبلور شده‌اند. بر این اساس فشار تبلور برای کلینوپیروکسن‌های مورد بررسی با توجه به قرار گیری در مجاورت مرز یاد شده، بایستی حدود ۵ کیلو بار یا کمی بیشتر از آن باشد.



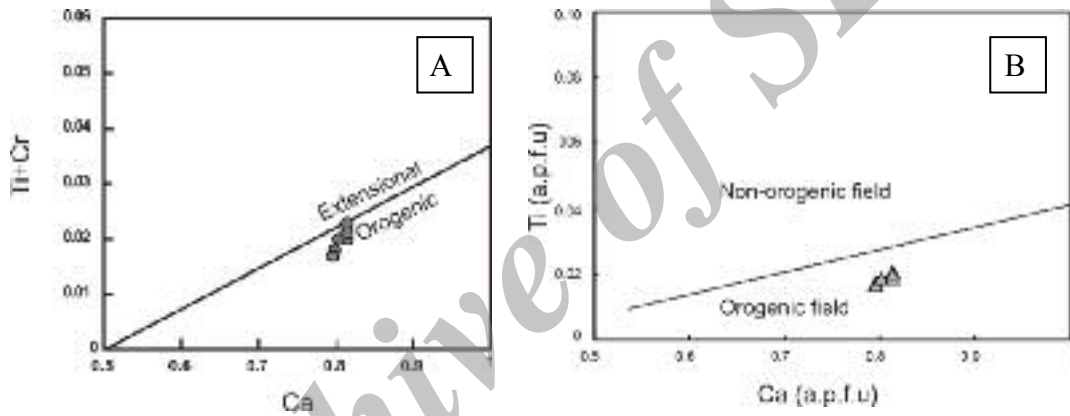
شکل ۹ نمودار تغییرات Al^{VI} نسبت به Al^{IV} [۳۱] برای برآورد فشارهای کلینوپیروکسن‌های توده‌ی نفوذی بغم HP = میدان فشار بالا، LP = میدان فشار پایین و MP = میدان فشار متوسط.



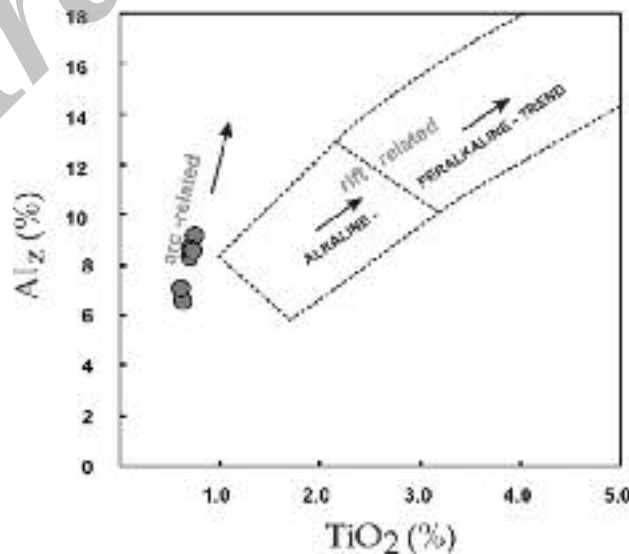
شکل ۱۰ نمودار SiO_2 نسبت به Al_2O_3 ماهیت نیمه‌قلیایی (تولییتی و آهکی-قلیایی) ماگمایی که کلینوپیروکسن‌ها از آن متبلور می‌شوند را نشان می‌دهند [۲۶].



شکل ۱۱ بر اساس نمودار Ti نسبت به Ca + Na کلینوپیروکسن‌ها ماگما، ماهیت تولییتی نشان می‌دهد [۳۲].



شکل ۱۲ بر اساس نمودار A Ca در برابر Ti + Cr (B Ca نسبت به Ti محیط تشکیل کلینوپیروکسن‌های مورد بررسی کوهزایی است [۳۲].



شکل ۱۳ نمودار دوتایی $\text{TiO}_2\text{-Al}_2\text{O}_3$ درصد موقعیت‌های چاروچی اشغال شده به‌وسیله‌ی آلومینیوم) نمونه‌ها در گستره‌ی وابسته به کمان قرار می‌گیرند موقعیت کلینوپیروکسن‌های مورد بررسی روی نمودار ترسیمی دمای تبلور کلینوپیروکسن‌ها [۳۳].

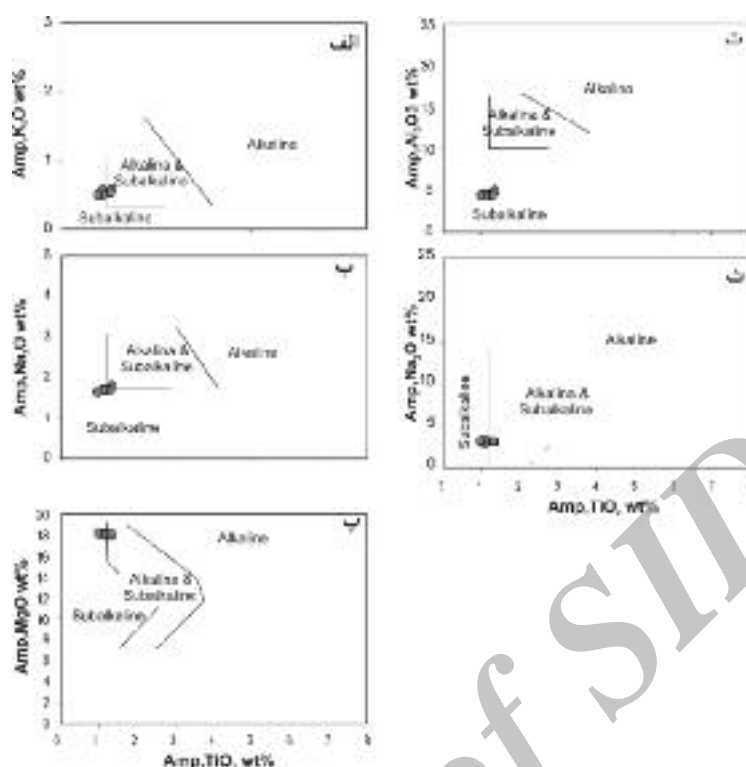
آمفیبول

و K_2O (۰٫۵۰-۰٫۵۶٪)، MgO (۱۷٫۸۳-۱۸٫۲۱٪)، X_{Mg} (۰٫۹۴۸-۱٫۰۰۰). میزان آهن آمفیبول‌ها با افزایش Al_2O_3 و کاهش SiO_2 زیاد می‌شود. براساس نمودار TiO_2 نسبت به K_2O ، Na_2O ، Al_2O_3 ، MgO و Na_2O/K_2O ماهیت ماگما تمایل به نیمه‌قلیایی دارد [۳۴] (شکل ۱۴).

۶ نقطه از بلورهای آمفیبول توده گابروی منطقه‌ی مورد بررسی، تحت آنالیز ریزپردازش الکترونی قرار گرفتند که نتایج این آنالیزها در جدول ۲ ارائه شده‌اند. تغییر ترکیب شیمیایی آمفیبول‌های مورد بررسی به صورت زیر است: SiO_2 (۵۰٫۱۱-۵۱٫۱۶٪)، Al_2O_3 (۴٫۳۲-۴٫۸۹٪)، FeO (۱۰٫۲۲-۱۰٫۲۲٪)

جدول ۲. نتایج آنالیزهای ریزپردازشی آمفیبول‌های توده‌ی نفوذی مورد بررسی بر اساس ۲۳ اتم اکسیژن.

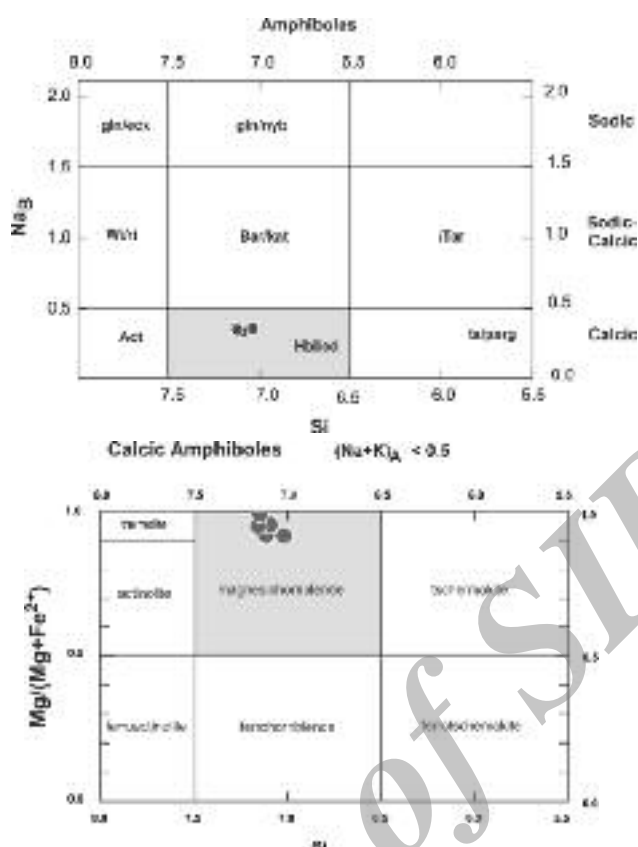
label	Amph-1	Amph-2	Amph-2	Amph-3	Amph-4	Amph-5
SiO ₂	۵۰٫۳۸	۵۰٫۵۴	۵۰٫۱۱	۵۰٫۶۷	۵۱٫۱۶	۵۱٫۰۴
TiO ₂	۱٫۱۸	۱٫۰۸	۱٫۳۳	۱٫۳۰	۱٫۰۸	۰٫۹۶
P ₂ O ₅	۰٫۰۰	۰٫۰۳	۰٫۰۳	۰٫۰۰	۰٫۰۳	۰٫۰۲
Al ₂ O ₃	۴٫۴۹	۴٫۵۳	۴٫۹۸	۴٫۴۴	۴٫۳۲	۴٫۳۳
Cr ₂ O ₃	۰٫۰۰	۰٫۰۰	۰٫۰۰	۰٫۰۱	۰٫۰۲	۰٫۰۱
Fe ₂ O ₃	۰٫۰۰	۰٫۰۰	۰٫۰۰	۰٫۰۰	۰٫۰۰	۰٫۰۰
FeO	۹٫۹۲	۹٫۹۱	۱۰٫۲۲	۹٫۸۸	۱۰٫۱۲	۹٫۷۸
MnO	۰٫۲۹	۰٫۲۵	۰٫۲۳	۰٫۲۱	۰٫۲۹	۰٫۲۵
MgO	۱۷٫۹۱	۱۸٫۰۷	۱۷٫۸۳	۱۸٫۰۶	۱۸٫۰۵	۱۸٫۲۱
NiO	۰٫۰۰	۰٫۰۳	۰٫۰۱	۰٫۰۱	۰٫۰۲	۰٫۰۲
CaO	۱۱٫۰۹	۱۱٫۰۷	۱۰٫۹۱	۱۱٫۱۱	۱۰٫۹۹	۱۱٫۰۳
Na ₂ O	۱٫۷۱	۱٫۷۱	۱٫۸۰	۱٫۷۱	۱٫۷۰	۱٫۶۴
K ₂ O	۰٫۵۴	۰٫۵۷	۰٫۵۸	۰٫۵۳	۰٫۵۰	۰٫۵۰
F	۱٫۳۹	۱٫۴۰	۱٫۳۹	۱٫۶۳	۱٫۵۷	۱٫۶۰
Total	۹۸٫۳۲	۹۸٫۶۰	۹۸٫۸۴	۹۸٫۸۷	۹۹٫۱۹	۹۸٫۷۲
Si	۷٫۱۰۸	۷٫۱۰۶	۷٫۰۴۱	۷٫۰۹۶	۷٫۱۳۵	۷٫۱۳۱
Ti	۰٫۱۲۵	۰٫۱۱۴	۰٫۱۴۱	۰٫۱۳۷	۰٫۱۱۳	۰٫۱۰۱
P	۰٫۰۰۰	۰٫۰۰۴	۰٫۰۰۴	۰٫۰۰۰	۰٫۰۰۴	۰٫۰۰۲
Al	۰٫۷۴۷	۰٫۷۵۱	۰٫۸۲۵	۰٫۷۳۳	۰٫۷۱۰	۰٫۷۱۳
Cr	۰٫۰۰۰	۰٫۰۰۰	۰٫۰۰۰	۰٫۰۰۱	۰٫۰۰۲	۰٫۰۰۱
Fe ³⁺	۰٫۹۶۶	۰٫۹۷۶	۰٫۹۷۶	۱٫۰۶۵	۱٫۰۸۱	۱٫۱۴۷
Fe ²⁺	۰٫۲۰۵	۰٫۱۸۹	۰٫۲۲۵	۰٫۰۹۲	۰٫۱۰۰	۰٫۰۰۰
Mn	۰٫۰۳۵	۰٫۰۳۰	۰٫۰۲۷	۰٫۰۲۵	۰٫۰۳۴	۰٫۰۳۰
Mg	۳٫۷۶۷	۳٫۷۸۷	۳٫۷۳۵	۳٫۷۷۱	۳٫۷۵۳	۳٫۷۹۳
Ni	۰٫۰۰۰	۰٫۰۰۳	۰٫۰۰۱	۰٫۰۰۱	۰٫۰۰۲	۰٫۰۰۲
Ca	۱٫۶۷۶	۱٫۶۶۸	۱٫۶۴۲	۱٫۶۶۷	۱٫۶۴۲	۱٫۶۵۱
Na	۰٫۴۶۸	۰٫۴۶۶	۰٫۴۹۰	۰٫۴۶۴	۰٫۴۶۰	۰٫۴۴۴
K	۰٫۰۹۷	۰٫۱۰۲	۰٫۱۰۴	۰٫۰۹۵	۰٫۰۸۹	۰٫۰۸۹
F	۰٫۶۲۰	۰٫۶۲۳	۰٫۶۱۸	۰٫۷۲۲	۰٫۶۹۲	۰٫۷۰۷
Sum	۱۵٫۸۱۴	۱۵٫۸۱۹	۱۵٫۸۲۹	۱۵٫۸۶۹	۱۵٫۸۱۷	۱۵٫۸۱۱
Al (IV)	۰٫۷۴۷	۰٫۷۵۱	۰٫۸۲۵	۰٫۷۳۳	۰٫۷۱۰	۰٫۷۱۳
Al (VI)	۰٫۰۰۰	۰٫۰۰۰	۰٫۰۰۰	۰٫۰۰۰	۰٫۰۰۰	۰٫۰۰۰



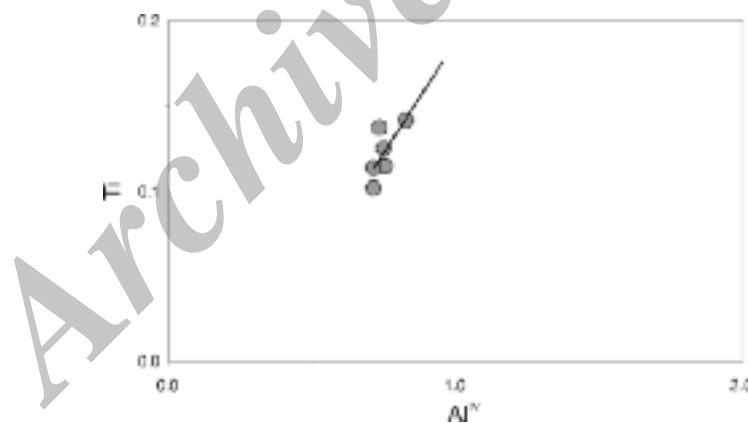
شکل ۱۴ در نمودارهای TiO_2 نسبت به الف (K_2O ، ب) Na_2O ، پ) MgO ، ت) Al_2O_3 ، و ث) Na_2O/K_2O حاصل از آنالیز آمفیبول‌ها ماهیت ماگما به نیمه‌قلیایی تمایل دارد [۳۴].

داده‌های شیمی کانی آمفیبول‌ها در تعیین نوع آنها و نیز محاسبات زمین-دماسنجی و زمین-فشارسنجی به منظور برآورد عمق نفوذ مورد استفاده قرار گرفته‌اند. فرمول ساختاری آنها بر مبنای ۲۳ اتم اکسیژن محاسبه شده است. برای تعیین نام و تعیین فرمول بلورهای آمفیبول با استفاده از آنالیزهای نقطه‌ای ریزپردازنده‌ی الکترونی، روش [۳۵] و نیز نرم‌افزار PET بکار گرفته شده‌اند. برای تمامی آمفیبول‌های مورد بررسی رابطه‌ی $(Ca + Na)B \geq 1.00$ برقرار است، بنابراین آمفیبول‌های آنالیز شده از این سنگ‌های گابرویی جزء آمفیبول‌های کلسیک هستند. با توجه به اینکه $Ca_B \geq 1.5$ و $(Na + K)_A < 0.50$ بوده و از طرف دیگر $Ti < 0.50$ است (جدول ۲)، آمفیبول‌های سنگ‌های مورد بررسی در نمودار رده‌بندی آمفیبول‌ها، در گستره‌ی کلسیک [۳۵] قرار می‌گیرند. در رده‌بندی آمفیبول‌های کلسیک بر مبنای نمودار Si نسبت به $Mg/(Mg + Fe^{2+})$ ، نقاط آنالیز شده در گستره‌ی منیزوهورنبلند قرار می‌گیرند (شکل ۱۵). میزان MgO در این آمفیبول‌ها نسبت به FeO^* بسیار بالا بوده و این بلورها به شدت غنی از Mg

هستند. میزان $Mg\# (Mg/Mg + Fe^{2+})$ از ۰٫۷۵ تا یک تغییر می‌کند. همبستگی مثبتی بین Ti و Al^{IV} وجود دارد، به طوری که با کاهش Al^{IV} ، Ti نیز کم می‌شود که حاصل افزایش Si در ساختار بلور و پیشرفت تبلور ماگماست (شکل ۱۶، [۳۴]). ترکیب شیمی بلورهای آمفیبول می‌تواند نشان دهنده‌ی شرایط گریزندگی اکسیژن ماگما باشد و بر مبنای [۴،۳] و نیز با توجه به میزان $Fe\# (Fe/(Fe^{3+} + Fe^{2+}))$ می‌توان گریزندگی اکسیژن را برآورد کرد. در این حالت اگر $Fe\#$ در گستره‌ی ۰ تا ۰٫۶ قرار گیرد نشان دهنده‌ی گریزندگی بالای اکسیژن بوده و اگر مقدار آن برابر با ۰٫۶ تا ۰٫۸ باشد گریزندگی متوسط است و در صورتیکه تا ۱ باشد، گریزندگی پایین خواهد بود. با توجه به ترکیب شیمیایی بلورهای آمفیبول توده‌ی مورد بررسی، میزان $Fe\#$ برابر با ۰٫۲ تا حداکثر ۰٫۴ بوده و بیانگر شرایط گریزندگی اکسیژن بالاست. این موضوع با گریزندگی اکسیژن بدست آمده به‌وسیله‌ی شیمی کانی کلینوپیروکسن همخوانی دارد.



شکل ۱۵ نمایش موقعیت بلورهای انتخابی آمفیبول از گابروهای توده‌ی بغم روی نمودار تقسیم بندی آمفیبول های کلسیک [۳۵].



شکل ۱۶ بین Al^{IV} و Ti همبستگی مثبت وجود دارد که نشان از افزایش Si در ساختار بلور و پیشرفت تبلور ماگماست.

فلدسپات‌ها

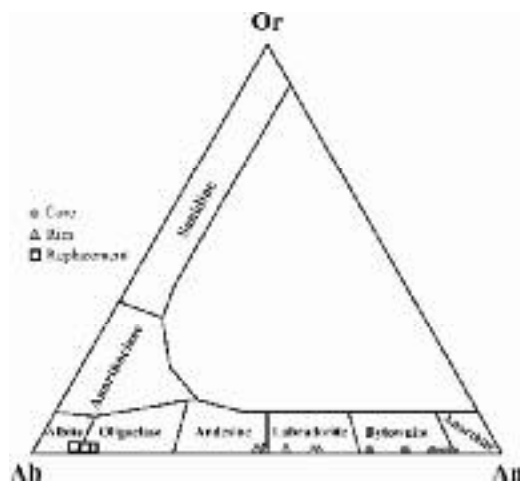
ترکیب شیمی کانی فلدسپات‌های سنگ‌های مورد بررسی در جدول ۳ ارائه شده است. چنانکه ملاحظه می‌شود تمامی فلدسپات‌ها، پلاژیوکلاز بوده و معمولاً زونه‌اند و ترکیب آنها از $An_{90.1}Ab_{10.2}Or_{0.7}$ در هسته تا $An_{47.5}Ab_{51.6}Or_{0.7}$ در حاشیه متغیر است. چنانکه ملاحظه می‌شود محتوای Or پلاژیوکلازها در هسته تقریباً ناچیز بوده و در حاشیه حداکثر به ۰٫۷ درصد وزنی می‌رسد. با توجه به ترکیب شیمیایی هسته،

پلاژیوکلازهای مورد بررسی بیشتر در گستره‌ی بیتونیت و در حاشیه در گستره‌ی لابرادوریت تا آندزین قرار می‌گیرند (شکل ۱۸). علاوه بر این پلاژیوکلازهای بازی اولیه (ماگمایی) گروه دیگری از پلاژیوکلازها نیز در این سنگهای گابرویی ملاحظه می‌شوند که حاصل سوسوریتی شدن پلاژیوکلازهای بازی بوده و ترکیب آنها از $An_{12.9}Ab_{86.0}Or_{0.7}$ تا $An_{9.0}Ab_{90.4}Or_{1.0}$ متغیر است که بیشتر در گستره‌ی آلبیت قرار می‌گیرند (شکل ۱۷).

جدول ۳ نتایج آنالیزهای ریزپردازشی پلاژیوکلازهای توده‌ی نفوذی مورد بررسی بر اساس ۸ اتم اکسیژن.

Label	P-1	P-2	P-3	P-4	P-5	P-6	P-7	P-8	P-9	P-10	P-11	P-12
Remark	core	core	core	core	core	rim	rim	rim	rim	rep	rep	rep
SiO ₂	۴۵٫۱۴	۴۵٫۲۸	۴۵٫۷۵	۴۵٫۶۶	۴۶٫۵۵	۴۷٫۶۷	۵۲٫۷۲	۵۴٫۱۲	۵۵٫۸۸	۶۵٫۰۷	۶۵٫۷۳	۶۶٫۱۶
TiO ₂	۰٫۰۱	۰٫۰۴	۰٫۰۳	۰٫۰۱	۰٫۰۴	۰٫۰۳	۰٫۰۸	۰٫۰۵	۰٫۰۶	۰٫۰۰	۰٫۰۰	۰٫۰۰
P ₂ O ₅	۰٫۰۰	۰٫۰۰	۰٫۰۰	۰٫۰۱	۰٫۰۱	۰٫۰۰	۰٫۰۱	۰٫۰۳	۰٫۰۲	۰٫۰۲	۰٫۰۰	۰٫۰۱
Al ₂ O ₃	۳۴٫۲۷	۳۴٫۲۱	۳۴٫۰۱	۳۴٫۰۴	۳۳٫۴۰	۳۲٫۰۷	۲۹٫۴۲	۲۸٫۳۱	۲۷٫۴۱	۲۱٫۸۹	۲۱٫۱۹	۲۱٫۰۵
Cr ₂ O ₃	۰٫۰۰	۰٫۰۰	۰٫۰۱	۰٫۰۱	۰٫۰۰	۰٫۰۰	۰٫۰۰	۰٫۰۱	۰٫۰۱	۰٫۰۰	۰٫۰۲	۰٫۰۱
Fe ₂ O ₃	۰٫۵۳	۰٫۶۰	۰٫۵۹	۰٫۵۹	۰٫۶۹	۰٫۷۰	۰٫۶۹	۰٫۵۷	۰٫۴۸	۰٫۱۴	۰٫۱۴	۰٫۰۹
FeO	۰٫۰۰	۰٫۰۰	۰٫۰۰	۰٫۰۰	۰٫۰۰	۰٫۰۰	۰٫۰۰	۰٫۰۰	۰٫۰۰	۰٫۰۰	۰٫۰۰	۰٫۰۰
MnO	۰٫۰۲	۰٫۰۰	۰٫۰۰	۰٫۰۳	۰٫۰۰	۰٫۰۱	۰٫۰۰	۰٫۰۰	۰٫۰۳	۰٫۰۰	۰٫۰۲	۰٫۰۰
MgO	۰٫۰۲	۰٫۰۴	۰٫۰۳	۰٫۰۲	۰٫۰۴	۰٫۰۴	۰٫۰۶	۰٫۰۴	۰٫۰۷	۰٫۰۱	۰٫۰۱	۰٫۰۱
NiO	۰٫۰۱	۰٫۰۰	۰٫۰۰	۰٫۰۰	۰٫۰۲	۰٫۰۰	۰٫۰۰	۰٫۰۱	۰٫۰۰	۰٫۰۱	۰٫۰۰	۰٫۰۰
CaO	۱۸٫۰۷	۱۷٫۹۷	۱۷٫۴۶	۱۷٫۷۱	۱۷٫۱۲	۱۵٫۸۸	۱۲٫۴۸	۱۱٫۰۵	۹٫۸۲	۲٫۷۳	۲٫۳۶	۱٫۹۱
Na ₂ O	۱٫۱۳	۱٫۱۷	۱٫۳۹	۱٫۲۹	۱٫۶۶	۲٫۳۰	۴٫۴۰	۵٫۱۶	۵٫۹۰	۱۰٫۰۸	۱۰٫۱۱	۱۰٫۶۲
K ₂ O	۰٫۰۱	۰٫۰۱	۰٫۰۱	۰٫۰۱	۰٫۰۱	۰٫۰۳	۰٫۰۹	۰٫۱۳	۰٫۱۳	۰٫۱۲	۰٫۱۶	۰٫۱۷
F	۰٫۰۱	۰٫۰۹	۰٫۰۷	۰٫۰۶	۰٫۰۰	۰٫۰۶	۰٫۰۰	۰٫۰۰	۰٫۰۰	۰٫۰۰	۰٫۰۰	۰٫۰۰
Total	۹۹٫۲۲	۹۹٫۳۷	۹۹٫۳۲	۹۹٫۴۱	۹۹٫۵۴	۹۸٫۷۷	۹۹٫۹۵	۹۹٫۴۸	۹۹٫۸۱	۱۰۰٫۰۷	۹۹٫۷۴	۱۰۰٫۰۳
Si	۲٫۱۰۰	۲٫۱۰۳	۲٫۱۲۲	۲٫۱۱۸	۲٫۱۵۲	۲٫۲۱۵	۲٫۳۹۴	۲٫۴۵۹	۲٫۵۲۱	۲٫۸۶۳	۲٫۸۹۶	۲٫۹۰۶
Ti	۰٫۰۰۰	۰٫۰۰۱	۰٫۰۰۱	۰٫۰۰۰	۰٫۰۰۱	۰٫۰۰۱	۰٫۰۰۲	۰٫۰۰۲	۰٫۰۰۲	۰٫۰۰۰	۰٫۰۰۰	۰٫۰۰۰
P	۰٫۰۰۰	۰٫۰۰۰	۰٫۰۰۰	۰٫۰۰۰	۰٫۰۰۰	۰٫۰۰۰	۰٫۰۰۰	۰٫۰۰۱	۰٫۰۰۱	۰٫۰۰۱	۰٫۰۰۰	۰٫۰۰۰
Al	۱٫۸۷۹	۱٫۸۷۳	۱٫۸۵۹	۱٫۸۶۱	۱٫۸۲۰	۱٫۷۵۶	۱٫۵۷۵	۱٫۵۱۶	۱٫۴۵۷	۱٫۱۳۵	۱٫۱۰۰	۱٫۰۹۰
Cr	۰٫۰۰۰	۰٫۰۰۰	۰٫۰۰۰	۰٫۰۰۰	۰٫۰۰۰	۰٫۰۰۰	۰٫۰۰۰	۰٫۰۰۰	۰٫۰۰۰	۰٫۰۰۰	۰٫۰۰۱	۰٫۰۰۰
Fe ₃	۰٫۰۱۹	۰٫۰۲۱	۰٫۰۲۱	۰٫۰۲۱	۰٫۰۲۴	۰٫۰۲۴	۰٫۰۲۴	۰٫۰۱۹	۰٫۰۱۶	۰٫۰۰۵	۰٫۰۰۵	۰٫۰۰۳
Fe ₂	۰٫۰۰۰	۰٫۰۰۰	۰٫۰۰۰	۰٫۰۰۰	۰٫۰۰۰	۰٫۰۰۰	۰٫۰۰۰	۰٫۰۰۰	۰٫۰۰۰	۰٫۰۰۰	۰٫۰۰۰	۰٫۰۰۰
Mn	۰٫۰۰۱	۰٫۰۰۰	۰٫۰۰۰	۰٫۰۰۱	۰٫۰۰۰	۰٫۰۰۰	۰٫۰۰۰	۰٫۰۰۰	۰٫۰۰۱	۰٫۰۰۰	۰٫۰۰۱	۰٫۰۰۰
Mg	۰٫۰۰۱	۰٫۰۰۳	۰٫۰۰۲	۰٫۰۰۱	۰٫۰۰۳	۰٫۰۰۳	۰٫۰۰۴	۰٫۰۰۳	۰٫۰۰۵	۰٫۰۰۱	۰٫۰۰۱	۰٫۰۰۱
Ni	۰٫۰۰۰	۰٫۰۰۰	۰٫۰۰۰	۰٫۰۰۰	۰٫۰۰۱	۰٫۰۰۰	۰٫۰۰۰	۰٫۰۰۰	۰٫۰۰۰	۰٫۰۰۰	۰٫۰۰۰	۰٫۰۰۰
Ca	۰٫۹۰۱	۰٫۸۹۴	۰٫۸۶۸	۰٫۸۸۰	۰٫۸۴۸	۰٫۷۹۰	۰٫۶۰۷	۰٫۵۳۸	۰٫۴۷۵	۰٫۱۲۹	۰٫۱۱۱	۰٫۰۹۰
Na	۰٫۱۰۲	۰٫۱۰۵	۰٫۱۲۵	۰٫۱۱۶	۰٫۱۴۹	۰٫۲۰۷	۰٫۳۸۷	۰٫۴۵۵	۰٫۵۱۶	۰٫۸۶۰	۰٫۸۶۴	۰٫۹۰۴
K	۰٫۰۰۱	۰٫۰۰۱	۰٫۰۰۱	۰٫۰۰۱	۰٫۰۰۱	۰٫۰۰۲	۰٫۰۰۵	۰٫۰۰۸	۰٫۰۰۷	۰٫۰۰۷	۰٫۰۰۹	۰٫۰۱۰
F	۰٫۰۰۱	۰٫۰۱۳	۰٫۰۱۰	۰٫۰۰۹	۰٫۰۰۰	۰٫۰۰۹	۰٫۰۰۰	۰٫۰۰۰	۰٫۰۰۰	۰٫۰۰۰	۰٫۰۰۰	۰٫۰۰۰
Sum	۵٫۰۰۵	۵٫۰۱۴	۵٫۰۰۹	۵٫۰۰۸	۴٫۹۹۹	۵٫۰۰۷	۴٫۹۹۹	۵٫۰۰۱	۵٫۰۰۱	۵٫۰۰۱	۴٫۹۸۸	۵٫۰۰۴
X _{An}	۹۰٫۱	۸۹٫۴	۸۶٫۸	۸۸٫۰	۸۴٫۸	۷۹٫۰	۶۰٫۷	۵۳٫۸	۴۷٫۵	۱۲٫۹	۱۱٫۱	۹٫۰
X _{Ab}	۱۰٫۲	۱۰٫۵	۱۳٫۵	۱۱٫۶	۱۴٫۹	۲۰٫۷	۳۸٫۷	۴۵٫۵	۵۱٫۶	۸۶٫۰	۸۶٫۴	۹۰٫۴
X _{Or}	۰٫۱	۰٫۱	۰٫۱	۰٫۱	۰٫۱	۰٫۲	۰٫۵	۰٫۸	۰٫۷	۰٫۷	۰٫۹	۱٫۰

Core: هسته، rim: حاشیه، rep: جانیشینی



شکل ۱۷ ترکیب پلاژیوکلازهای مورد مطالعه در نمودار تقسیم‌بندی فلدسپات‌ها.

شرایط فشار - درجه حرارت تبلور توده

در این مقاله داده‌های حاصل از شیمی کانی، برای تعیین دما و فشار از تبلور توده‌ی مورد بررسی استفاده شده است. زمین-فشارسنجی به روش محتوای Al در هورنبلند بر مبنای درجه-بندی [۹] فشارهای حدود ۰/۴ تا ۰/۹ کیلو بار را بدست می‌دهد که با توجه به ویژگی‌های دیگر توده، به نظر می‌رسد که به میزان قابل توجهی کم است. روش‌های برمبنای محتوای آلومینیوم در آمفیبول‌ها نیز فشار با مقادیر منفی را نشان می‌دهند. دلیل آن اینست که گستره‌ی تغییرات ترکیبی در بلورهای پلاژیوکلاز با توجه به منطقه بندی آنها، جزئی نبوده و از آندزین تا مرز آنورتیت-بیتونیت متغیر است (شکل ۱۷). این طیف گسترده ترکیبی از این جهت مهم است که در زمین-فشارسنجی بر مبنای محتوای آلومینیوم بلورهای آمفیبول، جزئی بودن تغییرات ترکیبی در پلاژیوکلازها یک موضوع ضروری تلقی می‌شود [۶]. یکی دیگر از دلایلی که این روش برای زمین-فشارسنجی این توده گابرویی قابل اطمینان نیست، فقدان حضور کانی‌های کوارتز و فلدسپات پتاسیم در آن است [۳]. بنابراین روش زمین-فشارسنجی محتوای Al در آمفیبول برای تعیین فشار این توده ماگمایی قابل کاربرد نیست. ولی با توجه به شکل ۱۰ ترکیب کلینوپیروکسن‌ها از سنگهای مورد بررسی در گستره‌ی فشار پایین تا متوسط قرار می‌گیرند. برای تعیین درجه‌ی تبلور توده‌ی ماگمایی بغم، می‌توان از نمودار نموداری دمای تبلور کلینوپیروکسن‌ها که توسط [۱۰] ارائه شده است، استفاده کرد. با توجه به نمودار دمای تبلور کلینوپیروکسن‌ها برای فشار ۵ کیلوبار، ترکیب این کانی‌ها (شکل ۱۸). با توجه به حضور همزیست و در حال تعادل دو کانی آمفیبول و کلینوپیروکسن، روش دیگر قابل استفاده برای تعیین دمای تبلور توده، بر مبنای روش زمین-فشارسنجی جفت کانی کلینوپیروکسن و آمفیبول همزیست [۱۱، ۱۲] است

که دمای تبلور جفت کانی‌های مورد بررسی در گستره‌ی ۷۳۰ تا ۷۹۰ درجه سانتیگراد قرار می‌گیرد (شکل ۱۹).

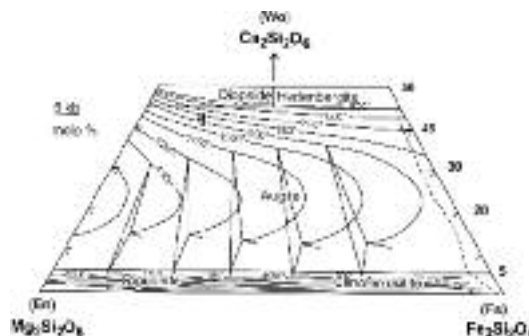
برداشت

توده‌ی بغم یکی از مجموعه توده‌های نفوذی نوار ماگمایی ارومیه-دختر است. کانی‌های اصلی این توده شامل پیروکسن، آمفیبول و پلاژیوکلاز است. کلینوپیروکسن‌ها دارای ترکیب اوزیت بوده و در گستره‌ی کلینوپیروکسن‌های کلسیم-منیزیم- آهن‌دار قرار می‌گیرند. نسبت Al^{VI}/Al^{IV} در این کلینوپیروکسن‌ها بین ۰/۱۴ تا ۰/۳۰ متغیر بوده و در گستره‌ی کلینوپیروکسن‌های با فشار متوسط تا فشار پایین قرار می‌گیرند. از طرف دیگر دمای تبلور این کلینوپیروکسن‌ها که معادل با دمای توده‌ی نفوذی است، بین ۸۴۰ تا ۹۲۰ درجه سانتیگراد را برای فشارهایی در حدود ۵ کیلوبار به دست می‌دهد. همچنین گریزندگی اکسیژن ماگما نسبتاً بالا بوده است. از نظر تکنونماگمایی شیمی کانی پیروکسن‌ها نشان می‌دهد که این توده آذرین دارای ماهیت ساب‌آکالن (تولیتی) بوده که در یک محیط تکنونیک و وابسته به کمان ماگمایی تشکیل شده است.

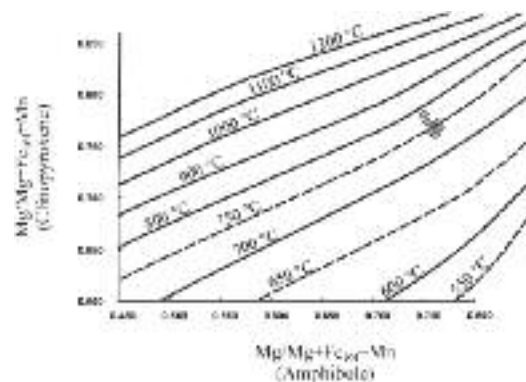
آمفیبول‌ها در این گابروها جزء آمفیبول‌های کلسیک هستند که در گستره‌ی منیزیهورنبلند قرار گرفته و از نظر تکنونماگمایی نشانگر ماهیت نیمه قلیایی این توده‌ی آذرین هستند.

بر اساس روش دمای تبلور، جفت کانی‌های کلینوپیروکسن و آمفیبول همزیست، دما در گستره‌ی ۷۳۰ تا ۷۹۰ درجه سانتیگراد قرار می‌گیرد.

پلاژیوکلاز فراوانترین کانی فلیسک این سنگ‌های گابرویی است. براساس آنالیزهای ریزپردازشی انجام گرفته روی پلاژیوکلازها، هسته ترکیب بیتونیت و حاشیه ترکیب لابرادوریت تا آندزین را نشان می‌دهد. بخشی ترکیب آلبیتی دارند حاصل سوسوریتی شدن پلاژیوکلازهای بازی اولیه است.



شکل ۱۸ موقعیت کلینوپیروکسن‌های مورد بررسی روی نمودار ترسیمی دمای تبلور کلینوپیروکسن‌ها در فشار ۵ کیلوبار [۱۰].



شکل ۱۹ استفاده از زمین-دماسنجی جفت کانی‌های کلینوپیکروکسن و آمفیبول همزیست [۱۱] برای تعیین دمای تبلور.

مراجع

- [9] Schmidt M. W., "Amphibole composition in tonalite as a function of pressure: an experimental calibration of the Al-in-hornblende barometer", Contributions to Mineralogy and Petrology 110 (1992) 304-310.
- [10] Lindsley I., "Pyroxene thermometry", American Mineralogist 68 (1983) 477-493.
- [11] Ulrych J., Cimbalkova A., Fiala L., Kaspar P., Lang M., Minarik L., Palivcova M., Pivec E., "Petrology of the Petrovice melagabbro", Rozpr Cs Akad Ved R Mat Prir Ved, Academia, Praha (1976) 57.
- [12] Abu Anbar M., "Petrogenesis of the Nesryin gabbroic intrusion in SW Sinai. Egypt: new contributions from mineralogy, geochemistry, Nd and Sr isotopes", Mineralogy and Petrology 95 (2009) 87-103.
- [13] Stocklin J., "Possible ancient continental margin in Iran. In: Burk C.A. and Drak C. L. (Eds). The Geology of Continental Margines", Springer, New York (1974) 873-887.
- [۱۴] نبوی م. ح.، "دییاجه‌ایی بر زمین‌شناسی ایران"، سازمان زمین‌شناسی ایران، (۱۳۵۵) ۱۰۹ ص.
- [۱۵] درویش‌زاده ع.، زمین‌شناسی ایران. انتشارات امیر کبیر (۱۳۷۰)، ۹۰۱ ص
- [16] Pourhosseini F., "Petrogenesis of Iranian plutons: a study of the Natanz and Bazman intrusive complexes", PhD thesis, University of Cambridge (1981) 315p.
- [17] Amidi S. M., "Contribution à l'étude stratigraphique, pétrologique et pétrographique des roches magmatiques de la région Natanz-Nain-Surk (Iran central)", Thèse Ph.D., Univ. Grénoble, France (1975) 316pp.
- [18] Amidi S. M., "Étude géologique de la région de Natanz-Surk (Iran Central), stratigraphie et
- [1] Nisbet E. G., Pearce J. A., "Clinopyroxene composition of mafic lavas from different tectonic settings", Contributions to Mineralogy and Petrology 63 (1977) 161-173.
- [2] Beccaluva L., Macciotta G., Piccardo G. B., Zeda O., "Clinopyroxene composition of ophiolite basalts as petrogenetic indicator", Chemical Geology 77 (1989) 165-182.
- [3] Anderson J. L., Smith D. R., "The effect of temperature and oxygen fugacity on Al-in-hornblende barometry", American Mineralogist 80 (1995) 549-559.
- [4] Spear F. S., "Amphibole-plagioclase equilibria: an empirical model for the reaction albite + tremolite = edenite + 4 quartz", Contribution to Mineralogy and Petrology 77 (1981) 355-364.
- [5] Hammarstrom J. M., Zen E., "Aluminum in hornblende: An empirical ionic geobarometer. American Mineralogist", 71(1986) 1297-1313.
- [6] Hollister L. S., Grissom G. C., Peters E. K., Stowell H. H., Sisson V. B., "Confirmation of the empirical correlation of Al in hornblende with pressure of solidification of calc-alkaline plutons", American Mineralogist 72 (1987) 231-239.
- [7] Johnson M. C., Rutherford M. J., "Experimental calibration of the aluminum-in-hornblende geobarometer with application to Long Valley caldera (California) volcanic rocks", Geology 17 (1989) 837-841.
- [8] Blundy J. D., Holland T. J. B., "Calcic amphibole equilibria and a new amphibole-plagioclase geothermometer", Contributions to Mineralogy and Petrology 104 (1990) 208-224.

- [28] Schweitzer E. L., Papike, J. J., Bence E., "Statistical analysis of clinopyroxenes from deep-sea basalts", *American Mineralogist* 64 (1979) 501-513.
- [29] Gamble R. P., Taylor L. A., "Crystal/liquid partitioning augite: effects of cooling rate", *Earth and Planetary Science Letters* 47 (1980) 21-33.
- [30] Mahood G. A., Baker D. R., "Experimental constraints on depths of fractionation of mildly alkalic basalts and associated felsic rocks: Pantelleria, strait of Sicily", *Contribution to Mineralogy and Petrology* 93 (1986) 251-264.
- [31] Aoki K., Shiba I., "Pyroxene from lherzolite inclusions of Itinomegata Japan", *Lithos* 6 (1973) 41-51.
- [32] Letterrier J., Maury R. C., Thonon P., Girard D., Marchal M., "Clinopyroxene composition as a method of identification of the magmatic affinities of paleo-volcanic series", *Earth and Planetary Science Letters* 59 (1982) 139-54.
- [33] Loucks, R. R., "Discrimination of ophiolitic from nonophiolitic ultramafic-mafic allochthons in orogenic belts by the Al/Ti ratio in clinopyroxene", *Geology* 18 (1990) 346-349.
- [34] Molina J. F., Scarrow J.H., Montero P.G., "High-Ti amphibole as a petrogenetic indicator of magma chemistry: evidence for mildly alkalic-hybrid melts during evolution of Variscan basic-ultrabasic magmatism of Central Iberia", *Contribution to Mineralogy and Petrology* 158 (2009) 69-98
- [35] Leake B. E., "Nomenclature of amphiboles, Report of the subcommittee on amphiboles of the International Mineralogical Association on new minerals and mineral names", *European Journal of Mineralogy* 9 (1997) 623-651.
- pétrologie*", *Geology Survey of Iran* 42 (1977) 316 p.
- [19] Reyre D., Mohafez S., "Une première contribution des accords NIOC-ERAP à la connaissance géologique de l'Iran", *Revue de l'Institut Français du Pétrole* 25 (1981) 979-1014.
- [۲۰] رادفر ج.، "نقشه چهارگوش زمین شناسی ۱:۱۰۰۰۰۰ / اردستان"، سازمان زمین شناسی و اکتشافات معدنی کشور، ۱۳۷۸.
- [21] Dachs E., "PET: Petrological elementary tools for mathematica: an update", *Computers and Geoscience* 30 (1981) 173-182.
- [22] Droop G.T.R., "A general equation for estimating Fe⁺³ concentrations. in ferromagnesian silicates and oxides from microprobe analyses, using stoichiometric criteria", *Mineralogical Magazine* 51(1987) 431-435.
- [23] Morimoto N., "The nomenclature of pyroxenes", *Mineralogical Magazine* 52 (1988) 535-50.
- [24] Berger J., Féménias O., Mercier J. C. C., Demaiffe D., "Ocean-floor hydrothermal metamorphism in the Limousin ophiolites (western French Massif Central): evidence of a rare preserved Variscan oceanic marker", *Journal of Metamorphic Geology*. 23b(2005) 795-812.
- [25] Kushiro I., "Si-Al relation in clinopyroxenes from igneous rocks", *American Journal of Science* 258 (1960) 548-554.
- [26] Le Bas M. J., "The role of aluminium in igneous clinopyroxenes with relation to their parentage", *American Journal of Science* 260 (1962) 267-288.
- [27] Bence A. E., Papike J. J., Ayuso R. A., "Petrology of Atlantic island arcs", *Bulletin of Volcanology* 32 (1975) 189-206.